

بررسی اثرات آمیگدالین بر ساختار بافتی کلیه موش سفید کوچک آزمایشگاهی

دکتر فرزاد رجایی* - دکتر رضا محمودی** - دکتر محمد ریاستی***

* دانشیار مرکز تحقیقات سلوی و ملکولی دانشگاه علوم پزشکی قزوین

** دانشیار مرکز تحقیقات سلوی و ملکولی دانشگاه علوم پزشکی یاسوج

*** پزشک عمومی، دانشگاه علوم پزشکی قزوین

چکیده

زمینه و هدف: آمیگدالین با نام تجاری لیترایل یک گلوکوزید سیانوژن با فعالیت ضد سرطانی می‌باشد که سمیت آن بر بافت‌ها، مورد بحث می‌باشد. هدف از مطالعه حاضر بررسی اثرات هیستولوژیک آمیگدالین بر کلیه موش سوری بود.

روش بررسی: ۳۲ سر موش سفید آزمایشگاهی نر بالغ به ۴ گروه کترول، آمیگدالین ۱۰، ۲۵ و ۵۰ میلی گرم بر کیلو گرم، تقسیم شدند. به موش‌های گروه تجربی، به مدت ۳۰ روز، آمیگدالین با غلظت‌های مورد نظر و به موش‌های گروه کترول سالین نرمال تزریق گردید. سه روز بعد از آخرین تزریق، پس از بیهوده نمودن حیوانات و باز نمودن شکم، کلیه‌ها از بدن حیوانات خارج و توزین شدند. پس از رنگ‌آمیزی با هماتوکسیلین و ائوزین، لامهای میکروسکوپی تهیه شدند. تعداد و اندازه گلومرول‌های کلیوی، قطر لوله‌های پروکسیمال و دیستال در گروه‌های مورد مطالعه با استفاده از نرم افزار Image Tool تعیین گردیدند.

یافته‌ها: نتایج مطالعه حاضر هیچ گونه تغییر معنی‌داری در تعداد و اندازه جسمک‌های کلیوی، قطر لوله‌های پروکسیمال و دیستال و حتی وزن کلیه در گروه‌های مورد مطالعه نشان نداد.

نتیجه‌گیری: مطالعه حاضر نشان داد که آمیگدالین با غلظت‌های ۱۰، ۲۵ و ۵۰ میلی گرم بر کیلو گرم وزن، نمی‌تواند تغییرات معنی‌داری را در ساختمان بافت شناسی کلیه ایجاد نماید.

واژه‌های کلیدی: آمیگدالین، موش سوری، کلیه، بافت

تأیید مقاله: ۱۳۹۱/۱۰/۴

وصول مقاله: ۱۳۹۱/۵/۲۸

نویسنده پاسخ‌گو: مرکز تحقیقات سلوی و ملکولی دانشگاه علوم پزشکی یاسوج، ایران. farzadraj@yahoo.co.uk

مقدمه

آن نقش ضد سرطانی دارد (۷، ۶). آنزیم رودانز^۱ موجود در میتوکندری سلول‌های طبیعی، مانع از رهایی سیانید از آمیگدالین می‌شود اما سلول‌های بدخیم به دلیل نداشتن این آنزیم، سیانید را رها می‌کنند. در نتیجه، برخلاف سلول‌های طبیعی، سلول‌های سرطانی تخریب می‌شوند (۷).

با وجودی که آمیگدالین به عنوان یک داروی ضد سرطان مورد استفاده قرار می‌گیرد، گزارش‌هایی مبنی بر سمی بودن آن در انسان و حیوانات وجود دارد و مصرف آن ممکن است حتی به مرگ افراد منجر شود (۸). به عنوان مثال گزارش مرگ یک بیمار مبتلا به سیروز و سرطان کبد در سال ۱۹۸۶ را می‌توان ذکر کرد که نشان می‌دهد، مصرف ۳ گرم لیترایل باعث کاهش فشار خون، اسیدوز و کومای عمیق

ویتمین B با نام علمی آمیگدالین، یک ترکیب گلوکوزید سیانوژن می‌باشد که به عنوان داروی ضد سرطان، با نام تجاری لیترایل^۱ به فروش می‌رسد (۱). آمیگدالین از آمیگدالا به معنی بادام گرفته شده است و در درمان آسم، آمفیزم، جذام، فشار خون بالا، بسیاری از سلطان‌ها و تسکین درد نقش مؤثری دارد (۲، ۳). آمیگدالین در دانه بسیاری از میوه‌ها مانند زرد آلو، بادام، هلو، سیب، گیلاس، گرد، فندق و گیاه Armeniaca semen یافت می‌شود (۴، ۵). آمیگدالین از نظر ساختمان شیمیابی از دو ملکول گلوکز، یک بنزوآلدئید و یک اسید هیدروسیانیک تشکیل شده است. بخش بنزوآلدئید آمیگدالین دارای ویژگی بی‌حس‌کنندگی است در حالی که بخش اسید هیدروسیانیک

1 - Laetrile

2 - Rhodanese

(Shandon-citadel 1000, UK) شامل فیکساسیون، آب گیری، شفاف سازی و آغشتنگی انجام شد. سپس از نمونه‌ها توسط دستگاه میکروتوم دور (Shandon-UK) برش‌های سریالی به ضخامت ۵ میکرون تهیه شد. در نهایت از هر نمونه، ۵ برش (برش‌های ۵ و ۸ و ۱۱ و ۱۷ و ۱۴)، به منظور پرهیز از شمارش مجدد یک سلول، انتخاب و پس از رنگ‌آمیزی هماتوکسیلن- انوزین و تهیه لام‌های میکروسکوپی، از سه میدان دید از هر لام به طور تصادفی انتخاب و با دوربین دیجیتال (Coolpix-4500, Japan) با درشت‌نمایی ۴۰ میکروسکوپ (Olympus, AH2, Japan) عکس تهیه شد. سپس تعداد جسمک‌های مالپیگی، قطر جسمک‌های مالپیگی (فاصله‌ی بین غشاء پایه کپسول بومن تا نقطه متناظر در مقاطع گلومرول‌های کلیوی)، قطر لوله‌های دیستال و پروگزیمال (فاصله‌ی بین غشاء پایه لوله‌ها تا نقطه متناظر در مقطع عرضی) در گروه‌های چهارگانه، به کمک نرم‌افزار نیکون مدل Digital Sight DS-L2، تعیین شدند. داده‌های حاصله در گروه‌های مورد مطالعه، توسط نرم‌افزار آماری SPSS-Version 16 و با استفاده از آزمون آنالیز واریانس، تحلیل شدند. $p < 0.05$ به عنوان سطح معنی‌داری در نظر گرفته شد.

یافته‌ها

همان‌طور که در جدول شماره ۱ و شکل شماره ۱ مشاهده می‌شود، میانگین وزن کلیه‌ها و میانگین تعداد جسمک‌های کلیوی

جدول ۱- میانگین وزن کلیه‌ها و تعداد جسمک‌های کلیوی در گروه‌های مورد مطالعه

گروه	وزن کلیه (گرم)	تعداد گلومرول
شاهد	(۰/۳۱±۰/۱۶)	(۹/۷۵±۲/۵۵)
آمیگدالین ۱۰	(۰/۲۷±۰/۰۴)	(۸/۷۵±۲/۸۱)
آمیگدالین ۲۵	(۰/۲۳±۰/۰۳)	(۹/۷۵±۳/۹۵)
آمیگدالین ۵۰	(۰/۲۵±۰/۰۴)	(۱۰/۳۸±۳/۴)

میانگین بصورت $SD \pm Mean$ داده شده است.

جدول ۲- میانگین قطر جسمک‌های کلیوی، لوله‌ی پروگزیمال، لوله‌ی دیستال در گروه‌های مورد مطالعه بر حسب میکرومتر

گروه	قطر گلومرول	قطر لوله‌ی پروگزیمال	قطر لوله‌ی دیستال
شاهد	(۸۵/۲۶±۶/۷۸)	(۹/۷۵±۲/۵۵)	(۴۶/۳۶±۱۰/۵۴)
آمیگدالین ۱۰	(۸۰/۳۵±۱۱/۵۸)	(۸۷/۷۵±۲/۸۱)	(۴۱/۰۱±۵/۰۸)
آمیگدالین ۲۵	(۸۰/۸۹±۰/۵۱)	(۹/۷۵±۳/۹۵)	(۴۳/۴۷±۳/۴۹)
آمیگدالین ۵۰	(۸۶/۸۲±۱۴/۴۰)	(۱۰/۳۸±۳/۴)	(۴۹/۵۷±۷/۰۶)

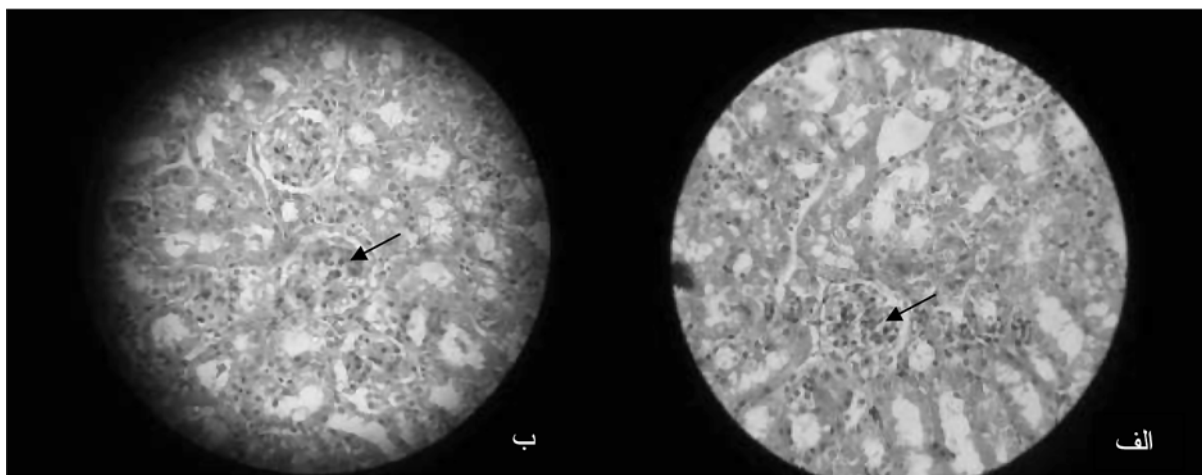
میانگین بصورت $SD \pm Mean$ داده شده است.

بیمار شد و در نهایت با آسیب شدید به کبد، منجر به مرگ وی گردید. این گزارش، نکروز شدید کبدی را با سمتی آمیگدالین در کبد مرتبط می‌داند (۹). در آزمایشات اولیه برای پیدا کردن غلظت مناسب آمیگدالین، مشاهده شد که تزریق ۵۰۰ میلی گرم بر کیلوگرم آمیگدالین، به صورت داخل صفاقی، باعث مرگ حیوانات می‌شود (۱۰). مطالعه دیگری نشان داد که مصرف بیش از حد بادام خام می‌تواند به بروز علایم مسمومیت با سیانید در بعضی از بیماران منجر شود (۱۱). مطالعات نشان داده‌اند که با توجه به حضور آنزیم بتا-گلوکوزیداز در کبد و فعالیت این آنزیم، بخش سیانید از ملکول آمیگدالین آزاد می‌شود که می‌تواند باعث بروز اثرات سمی این ماده بر کبد شود. افزایش نسبی غلظت این آنزیم در کبد، می‌تواند آسیب‌پذیر بودن این عضو در برابر آمیگدالین را توجیه نماید.

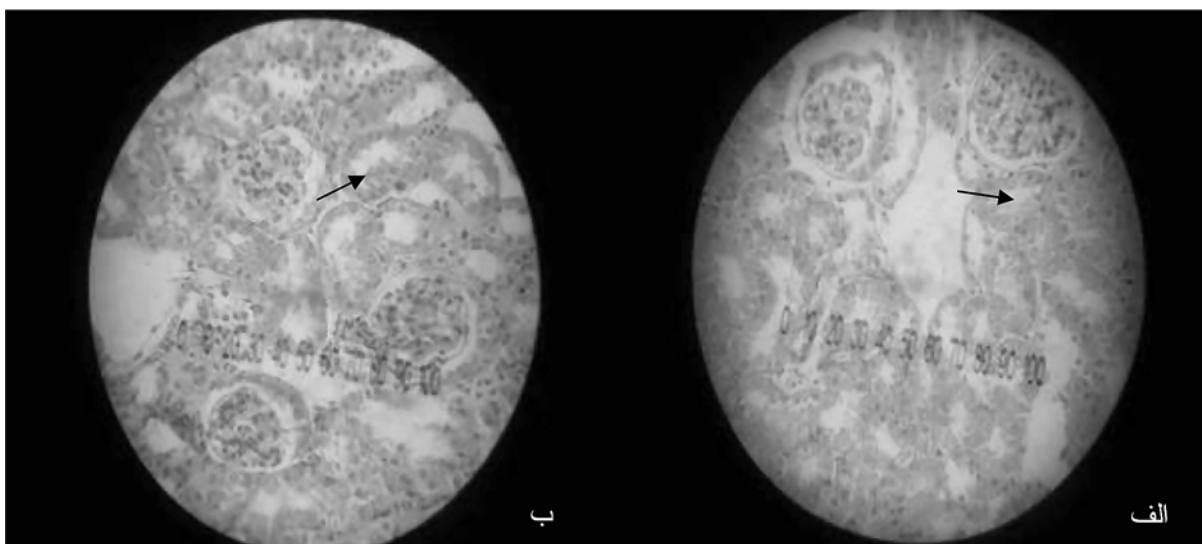
آمیگدالین در ناحیه زرینه روده باریک موش‌های صحرایی، در اثر فعالیت آنزیم (۶ و ۱۳) گلوکوزیداز، به پروتازین هیدرولیز می‌شود. این فرآیند آنزیمی کاملاً وابسته به PH روده است. سیانید آزاد شده از آمیگدالین، باعث مسمومیت سلول‌ها و بافت‌ها می‌شود (۱۲-۱۴). با توجه به اهمیت کلیه در ترشح مواد دفعی وجود مطالعات محدود در ارتباط با اثرات آمیگدالین بر ساختار بافتی کلیه، در مطالعه حاضر تغییرات مورفولوژیک کلیه موش سوری، به دنبال تجویز آمیگدالین، مورد بررسی قرار گرفت.

روش بررسی

این مطالعه از نوع تجربی در دانشگاه علوم پزشکی قزوین انجام شد. در ابتدا ۳۲ سر موش سفید کوچک آزمایشگاهی نر با وزن تقریبی ۲۰-۲۵ گرم از نژاد c/balb از انسستیتو رازی کرج تهیه گردیدند. موش‌ها به مدت یک هفته در درجه حرارت ۲۱±۲ سانتی‌گراد و دوره نوری طبیعی (۶ صبح تا ۶ عصر) در حیوانخانه دانشگاه به منظور تطابق با شرایط محیطی جدید نگهداری شده و امکان دسترسی به آب و غذای کافی فراهم گردید. موش‌ها، به صورت تصادفی، به ۴ دسته‌ی ۸ تایی تقسیم گردیدند. موش‌های هر گروه در قفس‌های مخصوص و مشابه به ابعاد $40 \times 20 \times 20$ سانتی‌متر قرار گرفتند. یک گروه به عنوان شاهد و سه گروه دیگر به عنوان گروه‌های تجربی در نظر گرفته شدند. به هر کدام از گروه‌های تجربی آمیگدالین (Sigma, Germany) با دوزهای ۱۰، ۲۵ و ۵۰ میلی گرم بر کیلوگرم و به صورت درون صفاقی به مدت ۳۰ روز تزریق گردید. به موش‌های گروه شاهد نیز سالین نرمال به صورت درون صفاقی تزریق گردید. سه روز بعد از آخرین تزریق آمیگدالین، حیوانات در گروه‌های مورد مطالعه به روش جابجایی مهره‌های گردنی ۳ بیهوده شدند و سپس شکم حیوانات باز گردید. کلیه حیوان خارج شد و پس از اندازه‌گیری وزن کلیه، نمونه از بافت کلیه تهیه شده و نمونه‌های موردنظر در فرمالین ۱۰٪ ثابت (فیکس) شد. سپس مراحل پاساژ بافتی توسط دستگاه پردازش بافت



شکل ۱- نمای میکروسکوپ نوری از ناحیه‌ی قشری کلیه که در آن جسمک‌های مالپیگی با علامت پیکان در گروه کنترل (الف) و گروه آزمایش (ب) مشاهده می‌شوند. همان‌طور که مشاهده می‌شود قطر جسمک‌های کلیوی در دو گروه تغییری را نشان نمی‌دهد. بزرگ‌نمایی $400\times$ برابر.



شکل ۲: نمای میکروسکوپ نوری از ناحیه‌ی قشری کلیه که در آن لوله‌های پروگزیمال با علامت پیکان در گروه کنترل (الف) و گروه آزمایش (ب) مشاهده می‌شوند. همان‌طور که مشاهده می‌شود قطر لوله‌های پروگزیمال در دو گروه تغییری را نشان نمی‌دهد. رنگ آمیزی H&E و بزرگ‌نمایی $400\times$ برابر.

آمیگدالین ۲۵ و در گروه آمیگدالین ۵۰ نیز اختلاف آماری معنی‌داری را با یکدیگر نشان ندادند ($p=0.08$). همان‌طور که جدول و شکل شماره ۲ نیز نشان می‌دهند، میانگین اندازه‌ی قطر لوله‌های دیستال در گروه شاهد، گروه آمیگدالین ۱۰، گروه آمیگدالین ۲۵ و در گروه آمیگدالین ۵۰ اختلاف آماری معنی‌داری را با یکدیگر نشان ندادند ($p=0.06$).

در گروه شاهد، گروه آمیگدالین ۱۰، گروه آمیگدالین ۲۵ و در گروه آمیگدالین ۵۰ اختلاف آماری معنی‌داری را با یکدیگر نشان ندادند (به ترتیب $p=0.176$ و $p=0.123$). همچنین، مقایسه نتایج نشان داد که میانگین اندازه قطر جسمک‌های کلیوی در گروه شاهد، گروه آمیگدالین ۱۰، گروه آمیگدالین ۲۵ و در گروه آمیگدالین ۵۰ اختلاف آماری معنی‌داری با یکدیگر ندارند ($p=0.176$). میانگین اندازه قطر لوله‌های پروگزیمال در گروه شاهد، گروه آمیگدالین ۱۰، گروه

بحث

با مطالعات قبلی (موش‌های صحرایی)، از یک طرف و غلظت‌های کمتر آمیگدالین تزریقی در مطالعه حاضر نسبت به مطالعات قبلی (۵۰ mg/kg در برابر ۵۰۰ mg/kg) از طرف دیگر، ممکن است توجیه کننده نتایج متفاوت مطالعات باشد.

Sadettin و همکاران نشان دادند که غلظت‌های مختلف آمیگدالین باعث کاهش معنی داری در سه پارامتر مهم اسپرم یعنی تحرك، مورفو‌لولژی و فعالیت هیالورونیداز اسپرم می‌شود و آمیگدالین به عنوان ماده‌ای با اثرات منفی بر باروری اسپرم‌ها معروفی شد (۱۷). همچنین نشان داده شد که آمیگدالین با غلظت‌های ۸۰، ۵۰، ۲۵ و ۲۰۰ میلی‌گرم بر لیتر، تکثیر سلول‌های فیبروبلاست تهیه شده از پاپیلای کلیوی را مهار می‌کند و غلظت L/۱۰۰ بیشترین اثر مهاری را دارد (۱۹). تفاوت نتایج مطالعه فوق با نتایج مطالعه حاضر می‌تواند به دلیل تفاوت در غلظت‌های تزریقی آمیگدالین و تفاوت در روش مطالعه باشد. در مطالعه حاضر، غلظت‌های آمیگدالین تزریقی کمتر از مطالعات قبلی بوده است (۵۰ mg/kg در برابر ۱۰۰ mg/kg ۱۰۰ تا ۵۰۰) و این محدوده غلظتی از آمیگدالین قادر به ایجاد تغییرات مورفو‌متريک در حیوان نبوده است. در ضمن، مطالعه حاضر به صورت درون تنی (In vivo) بوده در حالی که، مطالعه قبلی به صورت برون تنی (In vitro) بوده و نتایج مطالعات بروون تنی به دلیل تأثیر عوامل مضر در محیط‌های کشت می‌تواند با نتایج درون تنی متفاوت باشد (۲۰).

بنابراین مطالعه حاضر نشان داد که آمیگدالین با غلظت‌های ۲۵ و ۵۰ میلی‌گرم بر کیلوگرم وزن، نمی‌تواند تغییرات معنی داری را در ساختار بافت شناسی کلیه ایجاد نماید و جهت تأیید نتایج مطالعه حاضر، لازم است مطالعات دیگری با غلظت‌های بالاتری از آمیگدالین و به روش خوراکی و حتی در حیوانات دیگر انجام شود.

تشکر و قدردانی

از معاونت پژوهشی دانشگاه علوم پزشکی قزوین برای تأمین هزینه انجام این مطالعه و خانم حاجی آقایی به جهت همکاری در تهیه مقاطع میکروسکوپی تقدیر و تشکر می‌شود.

در مطالعه‌ی حاضر، اثر سمیت آمیگدالین به دنبال استفاده از غلظت‌های مختلف آن بر روی تغییرات مورفو‌متريک بافت کلیه، مورد بررسی قرار گرفت. نتایج مطالعه حاضر نشان داد که میانگین وزن کلیه‌ها، میانگین تعداد و اندازه‌ی قطر گلومرول‌ها، اگرچه با افزایش غلظت‌های مختلف تزریقی آمیگدالین تغییراتی را نشان می‌دهند ولی آنالیز آماری، اختلاف معنی داری را بین آن‌ها نشان نداد. بیشتر مطالعات قبلی به خصوصیات ضد سلطانی و ضد دردی این ماده و عوارض ناشی از سمیت کبدی این ماده پرداخته‌اند (۱۵-۱۷) و مطالعه‌ای که اثرات سمی آمیگدالین را بر تغییرات مورفو‌متريک کلیه مورد بررسی قرار دهد، وجود ندارد. در مطالعه‌ای نشان داده شده است که تزریق آمیگدالین به صورت داخل صفاقی در غلظت‌های ۲۰ و ۵۰ میلی‌گرم بر کیلوگرم می‌تواند به افزایش تعداد سلول‌های چند هسته‌ای کبدی و سلول‌های کوپفر منجر شود ولی بر تعداد سلول‌های نکروزه در کبد موش سفید آزمایشگاهی اثری نداشته است (۱۸). مطالعه دیگری نقش دوگانه آمیگدالین بر رشد و تکثیر سلول‌های پوششی را در محیط کشت سلولی نشان می‌دهد که از آلوئول ریه جنبی ۲۰ روزه‌ی موس صحرایی تهیه شده بود. بر اساس این مطالعه، آمیگدالین در غلظت‌های پایین (۵۰-۲۰۰ μmol/L)، باعث تحریک تقسیم سلولی و در غلظت‌های بالا (۴۰۰ μmol/L)، باعث مهار رشد و تکثیر سلولی می‌شود (۱۵). مطالعه حاضر نیز نشان داد که آمیگدالین با غلظت پایین‌تر از دوز آستانه‌ای، یعنی ۵۰ میلی‌گرم بر کیلوگرم، نمی‌تواند تغییرات مورفو‌متريک در بافت کلیه موش کوچک آزمایشگاهی ایجاد کند. مطالعات نشان می‌دهند که تجویز خوراکی آمیگدالین با غلظت مشابه (۶۰۰ mg/kg) در موش‌های صحرایی با نژادهای متفاوت، باعث تولید سطوح متفاوت از سیانید در خون حیوانات می‌شود و ممکن است علایم متفاوتی از مسمومیت در حیوانات مشاهده شود. بنابراین میزان سمیت آمیگدالین به نژاد حیوان بستگی دارد (۱۵). از طرف دیگر، گزارش‌ها نشان می‌دهند که فعالیت فلور میکروبی روده در حیوانات مختلف و حتی نژادهای مختلف، متفاوت است (۱۶). بنابراین، تفاوت در نوع حیوانات در مطالعه حاضر (موس سفید آزمایشگاهی)

References

- 1- Yıldırım AN, San B, Koyuncu F, Yıldırım F. Variability of phenolics, α -tocopherol and amygdalin contents of selected almond (*Prunus amygdalus* Batsch.) genotypes. *JFAE*. 2010; 8 (1): 76 - 9.
- 2- Milazzo S, Lejeune S, Ernst E. Laetrile for cancer: A systematic review of the clinical evidence. *Support Care Cancer*. 2007; 15(6): 583-95.
- 3- Chang HK, Yang HY, Lee TH, Shin MC, Lee MH, Shin MS, et al. Amygdalin Induces Apoptosis through Regulation of Bax and Bcl-2 Expressions in Human DU145 and LNCaP Prostate Cancer Cells. *Biol Pharm Bull*. 2006; 29(8): 1597-602
- 4- Park HJ, Yoon SH, Han LS, Zheng LT, Jung KH, Uhm YK, et al. Amygdalin inhibits genes related to cell cycle in SNU-C4 human colon cancer cells. *World J Gastroenterol*. 2005; 11(33): 5156-61.
- 5- Milbury PE, Chen CY, Dolnikowski GG and Blumberg JB. Determination of flavonoids and phenolics and their distributionin almonds. *J Agric Food Chem*. 2006; 54(14): 5027-33.
- 6- Hwang HJ, Lee HJ, Kim CJ, Shim I, Hahn DH. Inhibitory effect of amygdalin on lipopolysaccharide-inducible TNF-alpha and IL-1beta mRNA expression and carrageenan-induced rat arthritis. *J Microbiol Biotechnol*. 2008; 18(10):1641-7.
- 7- Haisman DR, Knight DJ, The enzymic hydrolysis of amygdalin. *Biochem J*. 1967; 103(2): 528-34.
- 8- Rosen GM, Shorr RI. Laetrile: End play around the FDA. A review of legal developments. *Ann Intern Med*. 1979; 90(3): 418-23.
- 9- Leor R, Michaeli J, Brezis M, Stessman J. Laetrile intoxication and hepatic necrosis: A possible association. *South Med J*. 1986; 79(2): 259-60
- 10- Greenberg DM. The case against laetrile: The fraudulent cancer remedy. *Cancer J*. 1980; 45(4): 799-807.
- 11- Moertel CG, Fleming TR, Rubin J, Kvols LK, Sarna G, Koch R, et al. A clinical trial of amygdalin (Laetrile) in the treatment of human cancer. *N Engl J Med*. 1982; 306(4): 201-6.
- 12- Adewusi SR, Oke OL, On the metabolism of Amygdalin: The LD50 and biochemical changes in rats. *Can J Physiol Pharmacol*. 1985; 63(9): 1080-3.
- 13- Hays SW, Wheeler ED, Eghtesad B, Glew HR, Johnston AE, The American Association for the Study of Liver Diseases: *Hepatology*. 1998; 28: 156-63.
- 14- Strugala GJ, Rauws AG, Elbers R. Intestinal first pass metabolism of amygdalin in the rat in vitro. *Biochem Pharmacol*. 1986; 35(13): 2123-8.
- 15- Zhu H, Chang L, Li W, Liu H. Effect of amygdalin on the proliferation of hyperoxia-exposed type II alveolar epithelial cells isolated from premature rat. *J Huazhong Univ Sci Technolog Med Sci*. 2004; 24(3): 223-5
- 16- Carter JH, McLafferty MA, Goldman P. Role of the gastrointestinal microflora in amygdalin (laetrile)-induced cyanide toxicity. *Biochem Pharmacol*. 1980; 29(3): 301-4.
- 17- Sadettin T, Tanzer B. In Vitro effects of Linamarin, Amygdalin and Gossypol Acetic Acid on Hyaluronidase Activity, Sperm Motility and Morphological Abnormality in Bull Sperm. *Turk J Vet Anim Sci*. 2004; 28: 819-24.
- 18- Rajaei F., Mohammadian A. The histologic effects of amygdalin on mouse liver, *Journal of Birjand University of Medical Sciences*. 2011; 18(4): 242-9. [persian]
- 19- Guo JQ, Sheng M X, Wang L J, Tan J M , Wu W Z , Yang S L . Inhibitory effect of amygdalin on human renal fibroblast proliferation. *CRTER*. 2008; 12 (18): 3575-8.
- 20- Brison DR., Schultz RM. Apoptosis during mouse blastocyst formation: Evidence for a role for survival factors including transforming growth factor alpha. *Biol Reprod*. 1997; 56: 1088-1096.